

MnAs

khosravi@ph.iut.ac.ir :

(دریافت مقاله: ۱۳۸۹/۸/۱۹؛ دریافت نسخه نهایی: ۱۳۹۰/۳/۱۶)

MnAs

-

تمامی خواص هر ماده به یک کمیت اسکالار یعنی چگالی ابر الکترونی حالت پایه آن (ρ)^(۱) بستگی دارد. بدرا با الهام از این قضایا به این نکته مهم توجه کرد که (ρ) علی الاصول تمامی ویژگی‌های ماده را در بر دارد، از این رو رهیافتی را پیشنهاد کرد که بتوان ویژگی‌های پیوندهای ماده را از روی توپولوژی چگالی ابر الکترونی استخراج کرد.

رهیافت بدرا از آن رو حائز اهمیت است که امروزه هم با روش‌های مبتنی بر اصول اولیه کوانتمی نظری نرم افزارهای بر پایه نظریه تابعی چگالی و هم با روش‌های آزمایشگاهی نظری پراش پرتو X می‌توان با دقیق خوبی چگالی ابرالکترونی مواد را تعیین کرد^[۳]. رهیافت بدرا مورد توجه بسیاری از شیمیدان‌ها و متخصصین علم مواد قرار گرفت و مارک ابرهارت و دیگران [۴-۵] توانستند با تعمیم این روش میزان پایداری پیوند را با معیارهای

در مبحث شیمی مولکولی، هر ماده اعم از مولکول یا انبوهه به عنوان مجموعه‌ای از اتم‌ها که با پیوندهایی به یکدیگر متصل شده‌اند در نظر گرفته می‌شود و کلیه خواص ماده به نحوی به پیوند شیمیایی بین اتم‌ها مربوط می‌شود. مفهوم "پیوند" گرچه در روش‌های سنتی با مدل‌های نیمه تجربی توصیف می‌شود، لیکن پایه‌های آن بر اصول کوانتمی استوار است و می‌توان با محاسبه کوانتمی چگالی ابر الکترونی آن را استخراج و خواص آن را به دست آورد. نظریه بدرا^۱ تحت عنوان اتم در مولکول^۲ اولین گام در این راستاست^[۱]. قضایای هوهنبرگ کوهن^[۲] که پایه نظریه تابعی چگالی را تشکیل می‌دهد، مبنی آن است که

۱. Bader

۲. Atoms in Molecules, AIM

عبارتند از: کمینه موضعی، بیشینه موضعی و دو نقطه زینی. هر یک از این نقاط بحرانی معمولاً با دو عدد به صورت (x,y) نمایه گذاری می‌شوند، که x تعداد ابعاد سیستم (در حالت سه بعدی^(۳)) و y میزان تفاضل تعداد انحناهای مثبت و منفی در آن نقطه است. بنابراین نقاط کمینه یا قفس با نمایه $(3,3)$ ، نقاط بیشینه یا هسته با نمایه $(-3,-3)$ و نقاط زینی پیوند و حلقه به ترتیب با نمایه‌های $(1,-1)$ و $(-1,1)$ مشخص می‌شوند.

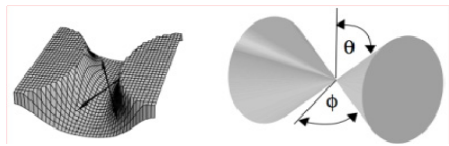
همان طور که ذکر شد، نقطه با نمایه $(-1,-1)$ مشخصات پیوند شیمیایی را دارد. این نقطه بر روی خط واصل دو اتم قرار دارد. این خط واصل که مسیر پیوند نامیده می‌شود، دو اتم را در امتداد بیشینه چگالی بار الکترونی به هم وصل می‌کند (مطابق شکل ۱). بنابراین نسبت به جهت‌های عمود بر مسیر پیوند، این نقطه یک بیشینه است و در نتیجه ویژه مقادیر ماتریس هسین در دو جهت عمود بر راستای پیوند منفی خواهد بود، $\theta = 90^\circ$. از طرف دیگر، در راستای موازی با پیوند چگالی بار عمدتاً در حوالی هسته اتم‌ها متمرکز بوده، محل نقطه بحرانی پیوند در این راستا تشکیل یک کمینه می‌دهد، لذا ویژه مقدار ماتریس هسین در این جهت مثبت می‌باشد، $\theta < 90^\circ$. میزان تغییر کمینه در راستای پیوند، با پایداری پیوند رابطه عکس دارد. برای آنکه این پایداری را به صورت کمی مورد ارزیابی قرار دهیم، از رهیافت پیشنهادی مارک ابرهارت تبعیت می‌کنیم.

رویه مقدار ثابت هسین چگالی بار الکترونی در محل پیوند را می‌توان توسط یک رویه مرتبه دوم نمایش داد:

$$H_{ij}[\rho(r)] = \lambda_1 x_i^3 + \lambda_2 x_j^3 + \lambda_3 x_i x_j.$$

این رویه مخروطی را تشکیل می‌دهد که رأس آن مکان پیوند و محور آن موازی مسیر پیوند است. اگر λ_3 انحنای چگالی بار در نقطه پیوند و در راستای موازی محور پیوند باشد (ویژه مقدار مثبت) و λ_1 و λ_2 نیز انحنا را در دو راستای عمود بر مسیر پیوند مشخص نمایند (ویژه مقادیر منفی) در آن صورت زوایای θ و ϕ که این رویه مخروطی با صفحه عمود بر راستای پیوند می‌سازد، طبق روابط زیر تعریف می‌شوند:

$$\tan \theta = \left(\frac{\lambda_1}{\lambda_2} \right)^{1/2}, \quad \tan \phi = \left(\frac{\lambda_1'}{\lambda_2'} \right)^{1/2},$$



شکل ۱. شمانی از رویه ماتریس هسین چگالی بار و کمیت جهتمندی در نقطه پیوند.

کمی تعیین نمایند و سپس این رهیافت را در مورد انواع متنوعی از مواد اعم از آلیاژهای فلزی^(۶) و آهن به عنوان یک فلز فرومغناطیسی^(۷) به کار گیرند. ما این روش تعمیم یافته را جهت مطالعه گذار فاز فلز-نیم فلز بلور MnAs در ساختار شبه پایدار روی بلند به کار برده و نحوه تغییر ویژگی‌های پیوندهای شیمیایی این ماده را طی گذار فاز مورد بررسی قرار دادیم. وجود خاصیت نیم فلزی^(۸) در کنار نزدیکی پارامتر شبکه و یکسانی ساختار با نیم‌رسانای GaAs، که رشد بلور As برپایه GaAs را به سادگی مقدور می‌سازد^[۹-۱۱]، علت علاقمندی ما به این ساختار می‌باشد.

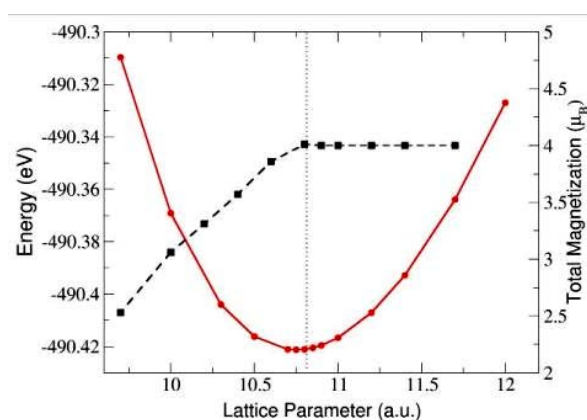
چگالی بار الکترونی را می‌توان به عنوان یک میدان اسکالار سه بعدی در فضای حقیقی در نظر گرفت. توپولوژی یک میدان اسکالار نظری (r) بر حسب نقاط بحرانی^۱ آن تعیین می‌شود. منظور از نقاط بحرانی نقاطی است که در آن $\nabla \rho(r) = 0$ باشد. نقاط بحرانی مختلف را با توجه به علامت انحناهای میدان در محل نقطه بحرانی دسته بندی می‌کنند. می‌دانیم که انحناهای یک میدان اسکالار (در اینجا چگالی بار الکترونی) در هر نقطه، تانسور مرتبه دومی است که با ماتریس هسین مشخص می‌شود. در فضای سه بعدی ماتریس هسین به صورت زیر تعریف می‌شود:

$$H_{ij}[\rho(r)] = \frac{\partial^2 \rho(r)}{\partial x_i \partial x_j}, \quad i, j = 1, 2, 3$$

بنابراین برای دسته بندی نقاط بحرانی چگالی بار الکترونی، ماتریس هسین آن در محل نقطه بحرانی محاسبه و قطری شده، ویژه مقادیر آن، $\lambda_1, \lambda_2, \lambda_3$ در راستای محورهای اصلی محاسبه می‌شود. با این کار چهار نوع نقطه بحرانی حاصل می‌شود، که

۱. Critical Points=cp

^۱ TECD به کار گرفتیم و مکان نقاط بحرانی از جمله، پیوندهای شیمیایی و نحوه جایجایی آنها بر حسب پارامتر شبکه را برای هر یک از چگالی‌های اسپین بالا، اسپین پایین و چگالی کل محاسبه کردیم. سپس با محاسبه مقادیر جهتمندی، میزان پایداری پیوندها را در اثر افزایش پارامتر شبکه مورد بررسی قرار دادیم.



شکل ۲. تغییرات انرژی (خط توپر) و مغناطش (خط چین) یک یاخته بسیط بلور MnAs، بر حسب پارامتر شبکه.

به منظور مطالعه گذار فلز- نیم فلز بلور MnAs در فاز روی بلند، مقادیر انرژی کل و مغناطش کل بر واحد مولکول بر حسب پارامتر شبکه محاسبه و در شکل ۲ نشان داده شده‌اند. می‌دانیم که فاز نیم فلز همواره دارای مغناطش صحیح می‌باشد، از این رو مقدار مغناطش مولکولی می‌تواند معیار مناسبی برای تعیین محل گذار نیم فلزی باشد. بررسی هم‌زمان تغییرات انرژی و مغناطش بر حسب پارامتر شبکه نشان می‌دهد که با شروع از ناحیه فلزی (محدوده تحت فشار)، مغناطش کل با افزایش پارامتر شبکه افزایش یافته به مقدار صحیح $4\mu_B$ میل می‌کند. گذار به حالت نیم فلزی در حدود 10.7 a.u. بالاتر از پارامتر شبکه تعادلی (10.8 a.u.) رخ می‌دهد. پس از گذار به نیم فلزی، مغناطش سیستم در مقدار صحیح $4\mu_B$ ثابت می‌ماند. مقایسه نمودار ساختار نواری و چگالی حالت‌های الکترونی بلور MnAs قبل و بعد از گذار (شکل ۳) نشان می‌دهد که افزایش مغناطش در اثر انتقال اندک باری که در فاز فلزی، پایین‌ترین نوار رسانش در کانال اقلیت را اشغال نموده بود، به نوار ظرفیت اسپین اکثیریت روی می‌دهد. این انتقال بار منجر به انتقال تراز فرمی به درون گاف اسپین اقلیت و بروز خاصیت نیم فلزی می‌شود.

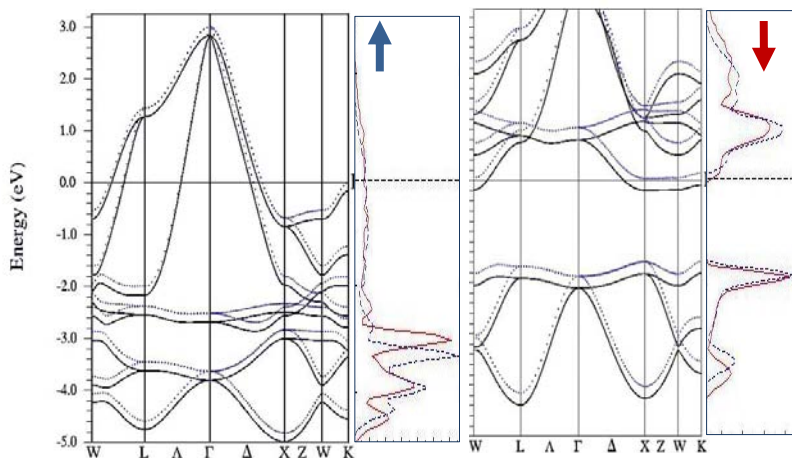
با بررسی دقیق‌تر نمودار ساختار نواری MnAs ملاحظه می‌شود که اشغال گاف اسپین اقلیت، قبل از گذار نیم فلزی عمدتاً از اوربیتال‌های حوالی نقاط X و W از فضای وارون ناشی می‌شود؛ در نواحی حوالی Γ و L در کل بازه مورد مطالعه، گاف اسپینی نسبتاً بزرگی ($\sim 2.5 \text{ eV}$) قابل مشاهده است. وجود

کمیت‌های اصطلاحاً جهتمندی پیوند نامیده می‌شود که بیان گر میزان تجمع توزیع بار در امتداد پیوند می‌باشد. در واقع زوایای θ و ϕ به منزله زوایای بین رویه مخروط با صفحه عمود بر راستای پیوند مربوط به دو راستای عمودی متفاوت است. جهتمندی پیوند با استحکام پیوند نسبت مستقیم دارد.

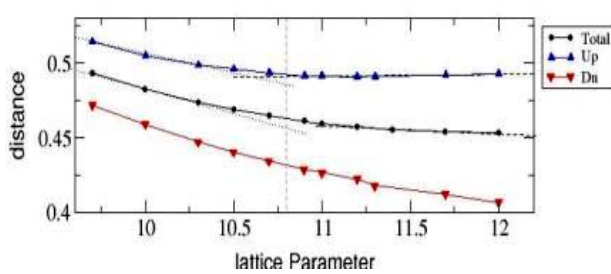
در واقع در این روش به چگالی بار الکترونی یک عمل‌گر مشاهده پذیر نسبت داده می‌شود. این مشاهده پذیر همان هسین چگالی بار است که با قطعی کردن آن می‌توان میزان پایداری ساختار را به صورت یک کمیت عددی ارزیابی کرد.

ما ابتدا با به کارگیری بسته محاسباتی Quantum Espresso چگالی ابرالکترونی حالت پایه را محاسبه کردیم. این نرم افزار بر پایه نظریه تابعی چگالی استوار است و معادلات کوهن شم را با روش موج تخت - شبه پتانسیل حل می‌کند. محاسبات با استفاده از شبه پتانسیل فوق نرم و با به کارگیری تقریب شیب تعمیم یافته (GGA) برای انرژی تبادلی همبستگی انجام شدند. تعداد نقاط K در ناحیه اول بریلوئن $12 \times 12 \times 12$ در نظر گرفته شد. توابع موج الکترون‌های والانس بر حسب امواج تخت با انرژی جنبشی کمتر از 40 Ry بسط داده شدند. به منظور ایجاد یک مش فشرده در فضای حقیقی، جهت افزایش دقت در تعیین نقاط بحرانی چگالی بار الکترونی، انرژی قطعه برای چگالی بار مساوی 3000 Ry انتخاب شد. پس از محاسبه چگالی حالت پایه به روش فوق، نتایج را در نرم افزار دیگری به نام

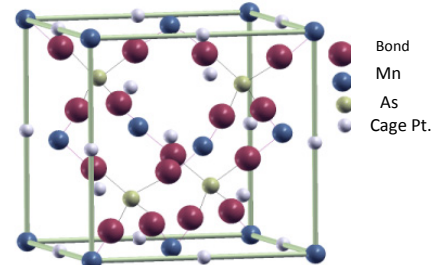
۱. Topology of the Electronic Charges Density



شکل ۳. نمودار ساختار نواری و چگالی حالت‌های الکترونی بلور MnAs، قبل (خط تپیر) و بعد(خط نقطه‌چین) از گذار نیم‌فلزی.



شکل ۴. مکان نقاط پیوند نسبت به اتم Mn و در واحد پارامتر شبکه.



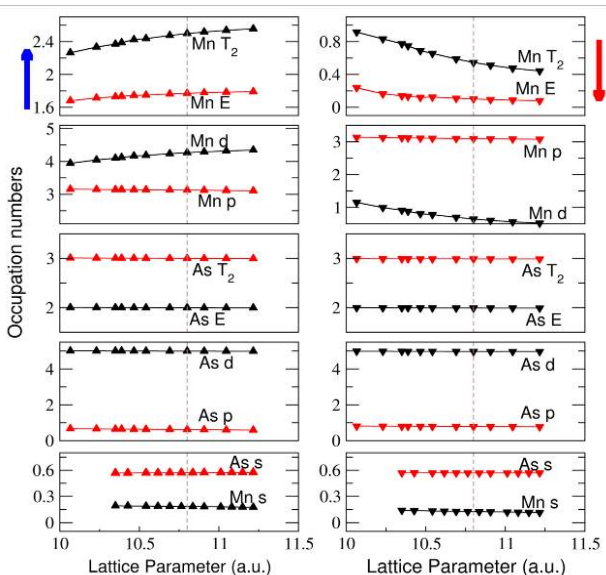
شکل ۵. نقاط بحرانی ترکیب MnAs در ساختار روی بلند.

واصل دو اتم قرار نگیرد. در شکل ۵ فاصله نقاط پیوند نسبت به اتم Mn بر حسب طول پیوند رسم شده است. واضح است که در مورد دو اتم یکسان، مرکزیت پیوند در وسط فاصله دو اتم (متناظر با مقدار $0/5^{\circ}$ در این نمودار) قرار می‌گیرد. همان‌گونه که ملاحظه می‌شود، در حالت کلی نقاط پیوند به طور نسبی به اتم Mn نزدیک‌تر است؛ این در حالی است که با توجه به شعاع اتمی کوچک‌تر As ممکن است انتظار رود محل پیوند (کمینه در راستای بین اتمی) به این اتم نزدیک‌تر باشد. این رفتار متعارض را می‌توان ناشی از ماهیت جایگزینه الکترون‌های d اتم Mn که نوار ظرفیت این اتم را تشکیل می‌دهند، در مقایسه با الکترون‌های ظرفیت As که عمده‌تاً از اوربیتال p ناشی می‌شوند، دانست.

با توجه به اینکه نوار ظرفیت اتم Mn در کanal اسپینی اقلیت تقریباً خالی است، این رفتار در این کanal واضح‌تر است و با افزایش پارامتر شبکه همچنان تقویت می‌شود، چرا که با افزایش فاصله اتمی، الکترون‌های As مجال گستردگی بیشتری یافته،

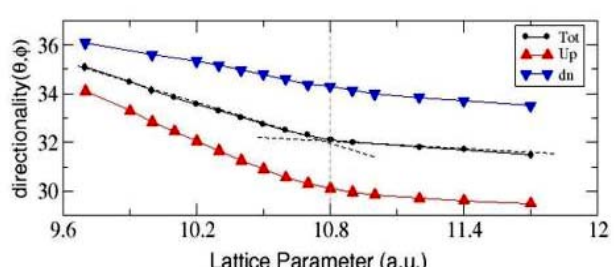
این ناهمسانگردی در گاف انرژی می‌تواند بیان‌گر نوعی ناهمسانگردی در رفتار نیم‌فلزی باشد، به گونه‌ای که در برخی راستاهای، رسانش اسپینی راحت‌تر انجام می‌شود با محاسبه چگالی بار الکترونی در یاخته واحد و تعیین نقاط بحرانی و ویژه مقادیر ماتریس هسین، مکان نقاط بحرانی در یک یاخته قراردادی MnAs تعیین و در شکل ۴ نمایش داده شده‌اند. مشاهده می‌شود که نقاط پیوند صرفاً بین همسایگان اول تشکیل شده است که منجر به ایجاد ۴ پیوند در حوالی هر اتم As می‌شود. بین دو اتم Mn و یا دو اتم As نه تنها نقاط پیوند مشاهده نمی‌شوند، بلکه نقاط کمینه بار تشکیل شده‌اند. این توبولوژی در سرتاسر محدوده مورد مطالعه و برای چگالی‌های اسپین بالا، پایین و چگالی کل یکسان است. تنها تفاوت موجود در مکان نسبی نقاط پیوند بین اتم‌های Mn و As است.

با توجه به تفاوت آرایش اتمی و الکترونگاتیوی اتم‌های As، ممکن است مکان نقاط پیوند در نقطه وسط خط



شکل ۷. تغییرات اعداد اشغال اوربیتال‌های اتمی، بر حسب پارامتر شبکه.

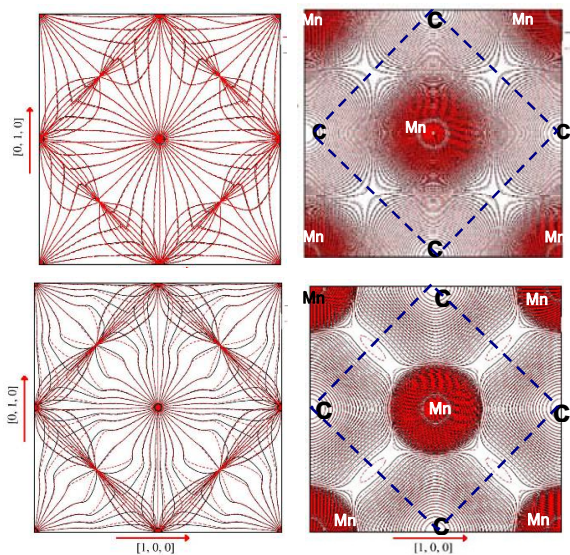
تفکیک اوربیتال‌های اتمی مختلف، در شکل ۷ نمایش داده شده است. با توجه به اینکه پیوند Mn و As در این ماده در راستای قطر مکعب قرار دارند، لذا اوربیتال‌های اتمی مختلف، بسته به ناحیه گسترش فضایشان، می‌توانند نقش بسیار متفاوتی در میزان جهتمندی و در نهایت استحکام پیوند داشته باشند. برای نمونه اوربیتال d اتم Mn در تقارن T_d موجود در ساختار روی بلند، به دو بخش E و بخش T_2 با تبعیگنی دوگانه که در راستای محورهای اصلی گستردگاند و بخش E با تبعیگنی سه گانه، که در جهات قطری گسترش دارند، شکافته می‌شود. لذا الکترون‌های d_E که در جهت‌های غیرپیوندی گسترش دارند، موجب کاهش میزان جهتمندی پیوند می‌شوند، حال آنکه الکترون‌های d_{T_2} که نواحی گسترششان متمایل به راستای پیوند است، جهتمندی پیوند را افزایش می‌دهند. با توجه به نمودار تغییرات اعداد اشغال جزئی بر حسب پارامتر شبکه، ملاحظه می‌شود که با اعمال فشار منفی، الکترون‌ها از اوربیتال T_2 در کanal اقلیت به اوربیتال‌های E و T_2 کanal اکثیر متغیر می‌شوند. با توجه به اینکه پیوند Mn-As در جهت قطر است، لذا افزودن الکترون به اوربیتال E، جهتمندی پیوند را در کanal اکثیر به شدت کاهش می‌دهد.



شکل ۶. منحنی تغییرات زوایای θ و ϕ بر حسب پارامتر شبکه

سهم بیشتری از فضا را به خود اختصاص می‌دهند. در کanal اکثیر، چون نوار ظرفیت هر دو اتم اشغال شده است، ناحیه تحت اختیار الکترون‌های As-p محدودتر است و مکان کمینه (نقطه پیوند) به نزدیکی نقطه وسط خط وصل دو اتم می‌کند. به ویژه در فشارهای بالا که فواصل اتمی به شدت کم شده، اثر پتانسیل هسته و شعاع اتمی غالب می‌شود به گونه‌ای که در این نواحی، نقطه پیوند اندکی به اتم As نزدیکتر می‌باشد.

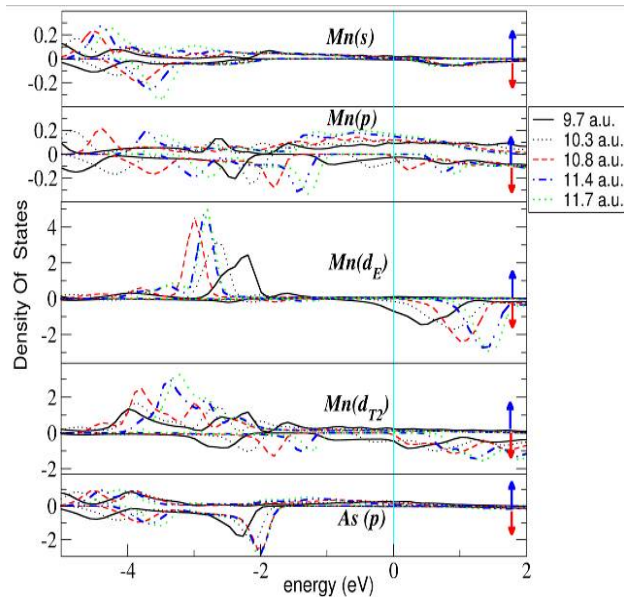
برای بررسی میزان پایداری پیوندها، به بررسی مقادیر جهتمندی آنها می‌پردازیم. در حالت کلی زوایای θ و ϕ غیر یکسانند، لیکن در حال حاضر به دلیل تقارن ساختار زینک بلند، این دو زاویه یکسان می‌باشند. ما این زاویا را به ازای مقادیر مختلف پارامتر شبکه برای چگالی الکترونی کل، اسپین بالا و اسپین پایین محاسبه و نتایج را در شکل ۶ نمایش داده‌ایم. واضح است که با افزایش پارامتر شبکه و فاصله اتم‌ها و در نتیجه کاهش همپوشانی اوربیتال‌های اتمی، قدرت پیوند کاهش می‌یابد. این اثر در هر دو کanal اسپینی قابل مشاهده است. اگرچه توپولوژی چگالی بار در گذار نیم فلزی تغییر نمی‌کند، ولی یک تغییر شیب در رفتار جهتمندی بر حسب پارامتر θ و ϕ را محل گذار دیده می‌شود. در واقع منشأ کاهش مقادیر θ و ϕ را می‌توان به دو بخش تقسیم نمود؛ بخشی که صرفاً به افزایش پارامتر شبکه و کاهش همپوشانی اوربیتال‌های اتمی مربوط می‌شود؛ این بخش در سرتاسر محدوده مورد مطالعه تأثیر یکسان دارد. لیکن سهم دیگری ناشی از انتقال بار از اسپین اقلیت به اسپین اکثیر وجود دارد که تنها در ناحیه فلزی قابل مشاهده است و کاهش جهتمندی را تقویت کرده و باعث افزایش شیب در این ناحیه می‌شود. جزئیات این انتقال بار به



شکل ۹. مسیرهای گرادیانی (سمت چپ) به همراه نمایش چگالی بار الکترونی (سمت راست) بلور MnAs قبل (خط توپر) و بعد (خط چین) از گذارنیم فلزی، در صفحه (۱۰۰) گذرنده از اتم‌های Mn. ردیف بالا مربوط به کانال اسپینی اکثیریت و ردیف پایین مربوط به کانال اسپینی اقلیت است. خط چین‌های ضخیم، ناحیه فضایی متناظر با اتم Mn را نشان می‌دهند.

است. خطوط گرادیان چگالی بار، در واقع جهت بیشترین تغییرات در چگالی بار را نشان می‌دهند. برای این کار، چگالی بار الکترونی را به صورت یک میدان اسکالار سه بعدی (مانسته پتانسیل الکتریکی) در نظر می‌گیریم؛ خطوط گرادیان این میدان اسکالار تشکیل یک میدان برداری (مانسته میدان الکتریکی) سه بعدی را می‌دهد که در هر نقطه بر سطح هم بار (مانسته سطح هم‌پتانسیل) گذرنده از آن نقطه عمود است. ما این خطوط گرادیانی را در سه صفحه اصلی در برگیرنده اتم‌ها به همراه تصویر خطوط هم بار در آن صفحه در دو فاز فلزی (خطوط پیوسته) و نیم فلزی (خطوط خط چین) را در شکل‌های ۹ تا ۱۱ نمایش داده‌ایم.

شکل ۹ مسیرهای گرادیانی در صفحه (۱۰۰) گذرنده از اتم‌های Mn را نشان می‌دهد. خطوط گرادیانی همواره از یک اتم شروع و به یک کمینه ختم می‌شوند. با دنبال کردن خطوط گرادیانی از محل اتم Mn، به یک کمینه در همسایگی آن که یا در همان صفحه و یا در صفحات As مجاور قرار دارند، می‌رسیم.

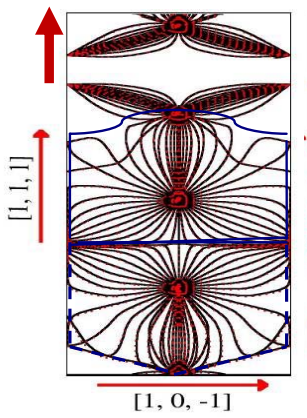


شکل ۸. منحنی‌های چگالی حالت‌های جزئی اتم‌های Mn و As

از مقایسه نحوه تغییرات زوایای θ و ϕ مربوط به اسپین رو به بالا و پائین بر حسب پارامتر شبکه مشاهده می‌شود که شب منحنی برای اسپین پائین کمتر از حالت اسپین بالاست. برای توضیح علت این تفاوت منحنی‌های چگالی جزئی حالت اتم‌های Mn و As محاسبه و در شکل ۸ با یکدیگر مقایسه شده‌اند. ملاحظه می‌شود که در کانال اکثیریت الکترون‌های d اتم Mn سهم غالب را در انرژی‌های نزدیک به تراز فرمی دارند، در حالی که پر انرژی‌ترین الکترون‌های اسپین اقلیت عمده‌تر از الکترون‌های p اتم As ناشی می‌شوند.

با توجه به ماهیت جایگزینی الکترون‌های d، با افزایش پارامتر شبکه و لذا با افزایش فاصله اتمی قدرت پیوند در اسپین اکثیریت با آهنگ بیشتری کاهش می‌یابد. در حالی که الکترون‌های p که سهم عمده را در اسپین اقلیت دارند، قابلیت گستردگی بیشتری دارند و بنابراین با افزایش پارامتر شبکه کاهش قدرت پیوند کنتر اتفاق می‌افتد. با توجه به اینکه آهنگ کاهش زاویه θ و ϕ با افزایش پارامتر شبکه برای اسپین بالا بیشتر است، لذا پیش‌بینی می‌شود در اثر کاهش فشار ناپایداری اسپین بالا آغاز شود.

ویژگی دیگری که بر اساس رهیافت بدر می‌توان از چگالی بار الکترونی استخراج کرد، شکل مسیرهای گرادیان چگالی بار

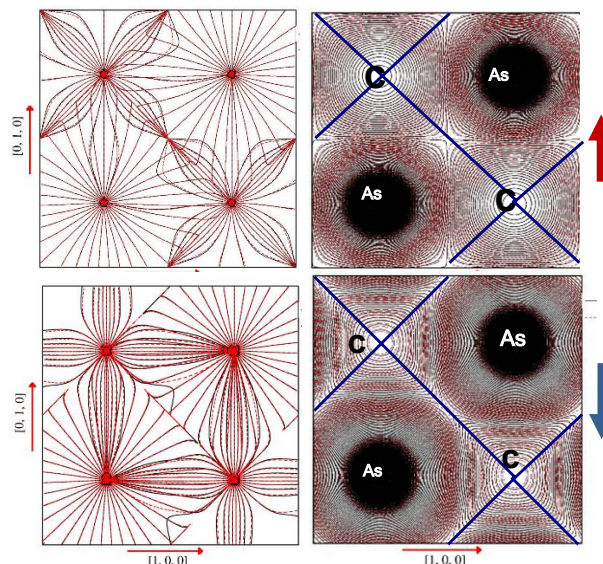


شکل ۱۱. مسیرهای گرادیانی بلور MnAs قبل (خط توپر) و بعد (خط چین) از گذار نیم فلزی، در صفحه کذرنده از راستای پیوند اتم های Mn و As. خطوط توپر و خط چین های ضخیم، به ترتیب ناحیه فضایی متناظر با اتم Mn و As را نشان می دهند.

همین تفاوت در صفحه حاوی دو اتم Mn و As مجاور نیز معنکس شده است. شکل ۱۱ مسیر گرادیانی در چنین صفحه ای که از دو راستای $[1\bar{1}\bar{1}]$ و $[\bar{1}01]$ تشکیل شده است را نشان می دهد. تفاوت مسیر گرادیانی مربوط به کمینه های موجود در صفحات اتمی As منشأ تفاوت در نواحی مرزی شکل می باشد. نمودارهای مسیرهای گرادیانی نیز گواه این نتیجه هستند که گذار نیم فلزی در این ماده، با تغییر در توبولوژی چگالی بار الکترونی همراه نیست، و صرفاً تغییراتی هندسی در شکل خطوط گرادیانی قابل مشاهده است.

مقایسه نمودارهای مربوط به دو کانال اسپینی به ویژه در شکل ۹ نشان می دهد که چگالی بار در کانال اکثربیت توزیع تقریباً یکنواختی دارد که به رفتار فلزی در این کانال مربوط می شود. به این ترتیب، توزیع نسبتاً جایگزیده در کانال اقلیت را می توان به خاصیت نیم رسانایی این کانال اسپینی مربوط کرد. اگرچه قبل از گذار نیم فلزی این کانال نیز فلز شناخته می شود، لیکن از نمودار چگالی حالت های الکترونی می توان دریافت که چگالی الکترون های رسانش ناچیز و از جنس اوربیتال های جایگزینه d می باشد.

از مهم ترین کاربردهای ترسیم مسیرهای گرادیانی، تعیین ناحیه فضایی متناظر با هر اتم می باشد. مرز هر اتم همواره مماس بر خطوط گرادیانی بوده به گونه ای که شار خطوط



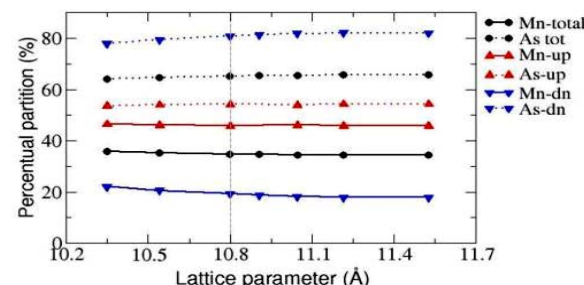
شکل ۱۰. مسیرهای گرادیانی (سمت چپ) به همراه نمایش چگالی بار الکترونی (سمت راست) بلور MnAs قبل (خط توپر) و بعد (خط چین) از گذار نیم فلزی، در صفحه (۱۰۰) گذرنده از اتم های As. ردیف بالا مربوط به کانال اسپینی اکثربیت و ردیف پایین مربوط به کانال اسپینی اقلیت است. خطوط ضخیم، ناحیه فضایی متناظر با اتم As را نشان می دهند.

نقاط کمینه در تمام اشکال با حرف C نشان داده شده اند. لازم به ذکر است، خطوطی که از کمینه های واقع در وسط اضلاع، به صورت قطری به سمت نقاط $\frac{1}{4}$ قطر همگرا می شوند، در واقع تصویر خطوط گرادیانی واصل بین اتم های As در صفحات مجاور و کمینه مذکور است. ملاحظه می شود که با افزایش پارامتر شبکه خطوط گرادیانی اتم Mn تمایل بیشتری به سمت کمینه های موجود در صفحات As مجاور دارند.

شکل ۱۰ مسیرهای گرادیانی در اطراف صفحه (۱۰۰) گذرنده از اتم های As را نشان می دهد. مقایسه مسیرهای گرادیانی در دو کانال اسپینی نشان می دهد که در اسپین اقلیت مسیر گرادیانی که به کمینه های صفحه As ختم می شوند از اتم های As مجاور ناشی می شوند، در حالی که در اسپین اکثربیت خطوط گرادیانی واصل به کمینه های صفحه As از اتم های Mn موجود در صفحات مجاور ناشی می شوند. این به تراکم بار بیشتر در حوالی اتم As در اسپین اقلیت و تراکم بیشتر اسپین اکثربیت در حوالی اتم های Mn برمی گردد.

می شود، به نظر می رسد سیستم به حالتی از پایداری دست می یابد. این مطلب با قرار گرفتن تراز فرمی در گاف انرژی اسپین اقلیت که به نوعی حصول یک حالت پایدار در ساختار الکترونی را نشان می دهد، سازگار است.

با استفاده از تحلیل توپولوژیکی ارائه شده می توان اطلاعات مفیدی راجع به پیوندهای اتمی و در نتیجه پایداری فازهای ساختاری و مغناطیسی مختلف به دست آورد. با استفاده از این تحلیل در بلور MnAs نتیجه می شود که ناپایداری این فاز در پارامترهای شبکه بزرگ از اسپین اکثیریت شروع می شود. همچنین مشاهده شد که پیوندها در این بلور بین همسایگان اول یعنی بین اتمهای Mn و As مجاور تشکیل می شود و بین اتمهای Mn مجاور و اتمهای As مجاور نقاط کمینه بار شکل می گیرد. این توپولوژی در کل بازه مورد مطالعه، از جمله حین گذار فلز-نیم فلز حفظ می شود.



شکل ۱۲. رفتار درصد اشغال فضایی اتمهای Mn و As، بر حسب پارامتر شبکه.

گردیانی عبوری از آن صفر است. این مرزها در شکل های ۹ تا ۱۱، برای اتم Mn توسط خطوط نقطه چین و برای اتم As توسط خطوط پیوسته مشخص شده است. این تقسیم بندی فضا بهترین راه برای تعیین کمیت های اتمی نظیر ممان مغناطیسی اتمی می باشد. به همین روش نسبت حجم اشغال شده توسط دو اتم Mn و As در پارامترهای شبکه مختلف محاسبه و در نمودار شکل ۱۲ نشان داده شده است. در اینجا نیز در محل گذار نیم فلزی تغییر شبکه نمودارها قابل مشاهده است. با توجه به اینکه پس از گذار به فاز نیم فلزی شبکه تغییرات کندتر

- Phys. Rev. Lett.* **100** (2008) 017208.
 8. R A de Groot et al., *Phys. Rev. Lett.* **50** (1983) 2024.
 9. S Sanvito and N A Hill, *Phys. Rev. B* **62** (2000) 15553.
 10. K Ono, J Okabayashi, M Mizuguchi, M Oshima, A Fujimori and H Akinaga, *J. Appl. Phys.*, **91** (2002) 8088.
 11. T W Kim, H Chang Jeon, T W Kang, H S Lee, J Y Lee, and S Jin, *Appl. Phys. Lett.* **88** (2006) 021915.

1. R F W Bader, “Atoms in Molecules, A quantum Theory”, Oxford University Press (1990).
2. P Hohenberg and W Kohn, *Phys. Rev.*, **136** (1964).
3. L J Farrugia and C Evans, *J. Phys. Chem. A* **109** (2005) 8834.
4. M E Eberhart *Can. J. Chem.*, **74** (1996) 1229.
5. M E Eberhart, *Acta Mater.*, **44** (1996) 2495.
6. M E Eberhart and A F Giamei, *Mater. Sci. Eng., A* **248** (1998) 287.
7. T E Jones, M E Eberhart and D P Clougherty,